

Variáveis

Estados:	x_G, y_G : posição do navio (m)
	ψ : aroamento do navio (rad)
	u, v : velocidades nas direções longitudinal e transversal (m/s)
	r : velocidade de guinada (rad/s)
Entradas:	F_x, F_y : Forças resultantes dos propulsores nas direções longitudinal e transversal (N)
	F_z : Momento de guinada resultante dos propulsores (N.m)
Saídas:	x_G, y_G, ψ

Equações do sistema:

$$\begin{aligned}
\dot{x}_G &= u \cos \psi - v \sin \psi \\
\dot{y}_G &= u \sin \psi + v \cos \psi \\
\dot{\psi} &= r \\
(M + M_{11})\dot{u} - (M + M_{22})vr - (Mx_G + M_{26})r^2 &= F_x \\
(M + M_{22})\dot{v} + (Mx_G + M_{26})\dot{r} + (M + M_{11})ur &= F_y \\
(I_z + M_{66})\dot{r} + (Mx_G + M_{26})(\dot{v} + ur) + (M_{22} - M_{11})uv &= F_z
\end{aligned}$$

As variáveis de estado, entrada e saída são as seguintes:

$$\begin{aligned}
x &= [x_g \ y_g \ \psi \ u \ v \ r]^T \\
u &= [F_x \ F_y \ F_z]^T \\
y &= [x_g \ y_g \ \psi]^T
\end{aligned}$$

Declaração das simbólicas a serem usadas

```
syms xg yg psi u v r Fx Fy Fz m m11 m22 m26 m66 izz
syms xg_dot yg_dot psi_dot u_dot v_dot r_dot
```

Definição dos membros direitos da equação de cada estado

```
eq1 = u*cos(psi) - v*sin(psi);
eq2 = u*sin(psi) + v*cos(psi);
eq3 = r;
eq4 = (Fx + (m*xg + m26)*r^2 + (m + m22)*v*r)/(m+m11);
eq5 = (Fy - (m*xg + m26)*r_dot - (m + m11)*u*r)/(m+m22);
eq6 = (Fz - (m*xg + m26)*(v_dot + u*r) - (m22 - m11)*u*v)/(izz + m66);
```

Definição das equações de saída:

```
eq7 = xg;
eq8 = yg;
eq9 = psi;
```

Linearização de acordo com as seguintes condições:

$$\begin{aligned}
\dot{x}_G^* &= \dot{y}_G^* = x_G^* = y_G^* = \psi^* = 0 \\
u^* &= v^* = r^* = \dot{u}^* = \dot{v}^* = \dot{r}^* = 0
\end{aligned}$$

e entradas nos esforços propulsores todas nulas.

```
taylor_xg_dot = taylor(eq1, [u, v, psi], 0, 'Order', 2)
```

```
taylor_xg_dot = u
```

```
taylor_yg_dot = taylor(eq2, [u, v, psi], 0 , 'Order', 2)
```

```
taylor_yg_dot =v
```

```
taylor_psi_dot = taylor(eq3, r , 0 , 'Order', 2)
```

```
taylor_psi_dot =r
```

```
taylor_u_dot = taylor(eq4, [xg, r, v, Fx], 0 , 'Order', 2)
```

```
taylor_u_dot =
```

$$\frac{F_x}{m+m_{11}}$$

```
taylor_v_dot = taylor(eq5, [xg, r_dot, u, r, Fy], 0 , 'Order', 2)
```

```
taylor_v_dot =
```

$$\frac{F_y}{m+m_{22}} - \frac{m_{26} r_{\dot{}}}{m+m_{22}}$$

```
taylor_r_dot = taylor(eq6, [xg, v_dot, u, r, v, Fz], 0 , 'Order', 2)
```

```
taylor_r_dot =
```

$$\frac{F_z}{i_{zz}+m_{66}} - \frac{m_{26} v_{\dot{}}}{i_{zz}+m_{66}}$$

feitas as expansões de taylor de cada membro direito, têm-se as equações linearizadas de estado

```
lin_xg_dot = taylor_xg_dot
```

```
lin_xg_dot =u
```

```
lin_yg_dot = taylor_yg_dot
```

```
lin_yg_dot =v
```

```
lin_psi_dot = taylor_psi_dot
```

```
lin_psi_dot =r
```

```
lin_u_dot = taylor_u_dot
```

```
lin_u_dot =
```

$$\frac{F_x}{m+m_{11}}$$

```
lin_v_dot = v_dot == taylor_v_dot;
```

```
lin_r_dot = r_dot == taylor_r_dot;
```

Isolando as derivadas de v e r:

```
[lin_v_dot,lin_r_dot]=solve([lin_v_dot,lin_r_dot],[v_dot,r_dot])
```

```
lin_v_dot =
```

$$\frac{F_y i z z + F_y m_{66} - F_z m_{26}}{-m_{26}^2 + i z z m + i z z m_{22} + m m_{66} + m_{22} m_{66}}$$

```
lin_r_dot =
```

$$\frac{F_z m - F_y m_{26} + F_z m_{22}}{-m_{26}^2 + i z z m + i z z m_{22} + m m_{66} + m_{22} m_{66}}$$

Criação das Matrizes:

```
%{
syms nop

A=[nop nop nop nop nop nop;
  nop nop nop nop nop nop;
  nop nop nop nop nop nop;
  nop nop nop nop nop nop;
  nop nop nop nop nop nop;
  nop nop nop nop nop nop];

B=[nop nop nop;
  nop nop nop;
  nop nop nop;
  nop nop nop;
  nop nop nop;
  nop nop nop];

C=[nop nop nop nop nop nop;
  nop nop nop nop nop nop;
  nop nop nop nop nop nop];

vect_estados=[xg yg psi u v r];
vect_entradas=[Fx Fy Fz];
vect_saidas=[xg yg psi];

for i=1:6

    A(1,i)=collect(lin_xg_dot,vect_estados(i))
    A(2,i)=collect(lin_yg_dot,vect_estados(i));
```

```

A(3,i)=collect(lin_psi_dot,vect_estados(i));
A(4,i)=collect(lin_u_dot,vect_estados(i));
A(5,i)=collect(lin_v_dot,vect_estados(i));
A(6,i)=collect(lin_r_dot,vect_estados(i));

end

for i=1:3

    B(1,i)=collect(lin_xg_dot,vect_entradas(i));
    B(2,i)=collect(lin_yg_dot,vect_entradas(i));
    B(3,i)=collect(lin_psi_dot,vect_entradas(i));
    B(4,i)=collect(lin_u_dot,vect_entradas(i));
    B(5,i)=collect(lin_v_dot,vect_entradas(i));
    B(6,i)=collect(lin_r_dot,vect_entradas(i));

end

nop = 0;

display(A)
display(B)
display(C)
%}

```

Criação das Matrizes:

```

syms d

A = [0 0 0 1 0 0;
     0 0 0 0 1 0;
     0 0 0 0 0 1;
     0 0 0 0 0 0;
     0 0 0 0 0 0;
     0 0 0 0 0 0];

B = [0          0          0;
     0          0          0;
     0          0          0;
     1/(m+m11)  0          0;
     0          (izz+m66)/d -m26/d;
     0          -m26/d      (m+m22)/d];

C = [1 0 0 0 0 0;
     0 1 0 0 0 0;
     0 0 1 0 0 0;
     0 0 0 0 0 0;
     0 0 0 0 0 0;
     0 0 0 0 0 0];

D = 0;

```

Usando os valores numéricos do enunciado:

```

m = 7240e3;
izz = 2750e6;
m11 = 640e3;
m22 = 6400e3;

```

```
m66 = 1560e6;
m26 = 7900e3;
```

```
display(A)
```

```
A = 6x6 double
```

```

0      0      0      1      0      0
0      0      0      0      1      0
0      0      0      0      0      1
0      0      0      0      0      0
0      0      0      0      0      0
0      0      0      0      0      0
```

```
display(B)
```

```
B =
```

$$\begin{pmatrix} 0 & 0 & 0 \\ 0 & 0 & 0 \\ 0 & 0 & 0 \\ \frac{1}{m+m_{11}} & 0 & 0 \\ 0 & \frac{izz+m_{66}}{d} & -\frac{m_{26}}{d} \\ 0 & -\frac{m_{26}}{d} & \frac{m+m_{22}}{d} \end{pmatrix}$$

```
display(C)
```

```
C = 6x6 double
```

```

1      0      0      0      0      0
0      1      0      0      0      0
0      0      1      0      0      0
0      0      0      0      0      0
0      0      0      0      0      0
0      0      0      0      0      0
```

```
display(D)
```

```
D = 0
```

Definindo tempo de simulação:

```
t = 0:0.001:10;
i = 1 % contador para os gráficos
```

```
i = 1
```

Definindo matriz de vasculhamento:

```
single_G=[0.05 0.1 0.25];
double_G=[0 0.05;
           0 0.1;
```

```

0 0.25;
0.05 0;
0.05 0.05;
0.05 0.1;
0.05 0.25;
0.1 0;
0.1 0.05;
0.1 0.1;
0.1 0.25;
0.25 0;
0.25 0.05;
0.25 0.1;
0.25 0.25];

```

Gerando gráficos comparativos para cada entrada atuando sozinha com 100% do esforço de controle:

Fx:

$$(1) F_x = 2.5 * 10^5 \text{ N}; F_y = 0; M_z = 0$$

```

fx = 2.5e5;
fy = 0;
mz = 0;

```

```

[xg_linear, yg_linear, psi_linear] = sim_linear(t);
[xg_non_linear, yg_non_linear, psi_non_linear] = sim_non_linear(t);

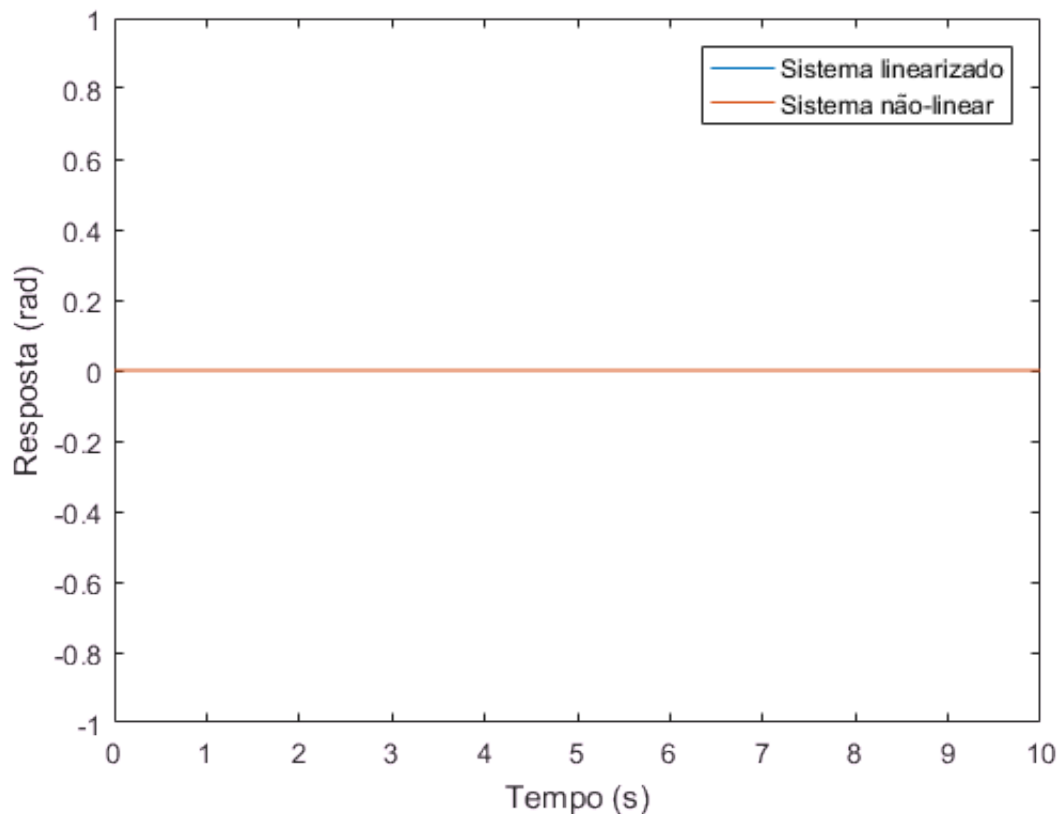
```

```

i=plota_graficos(psi_linear, yg_non_linear, xg_non_linear, xg_linear, yg_linear, psi_non_linear);

```

Resposta em malha aberta da guinada dos dois sistemas



Fy:

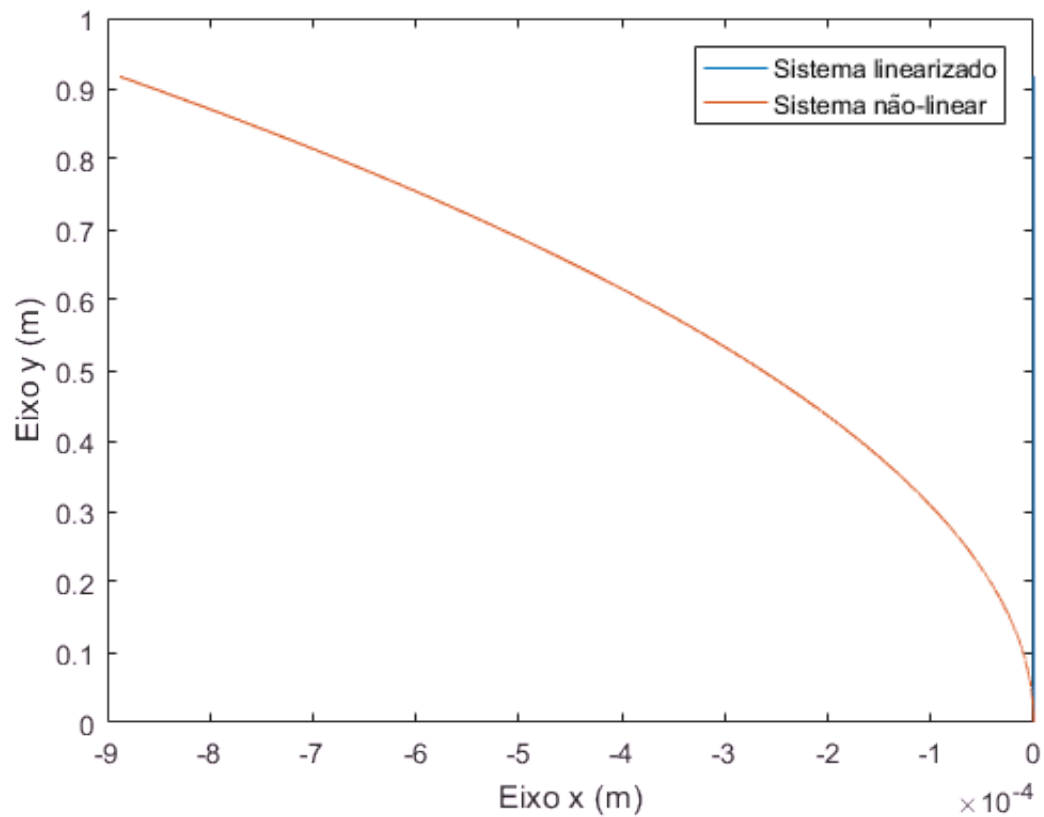
$$(2) F_x = 0; F_y = 2.5 * 10^5 \text{ N}; M_z = 0$$

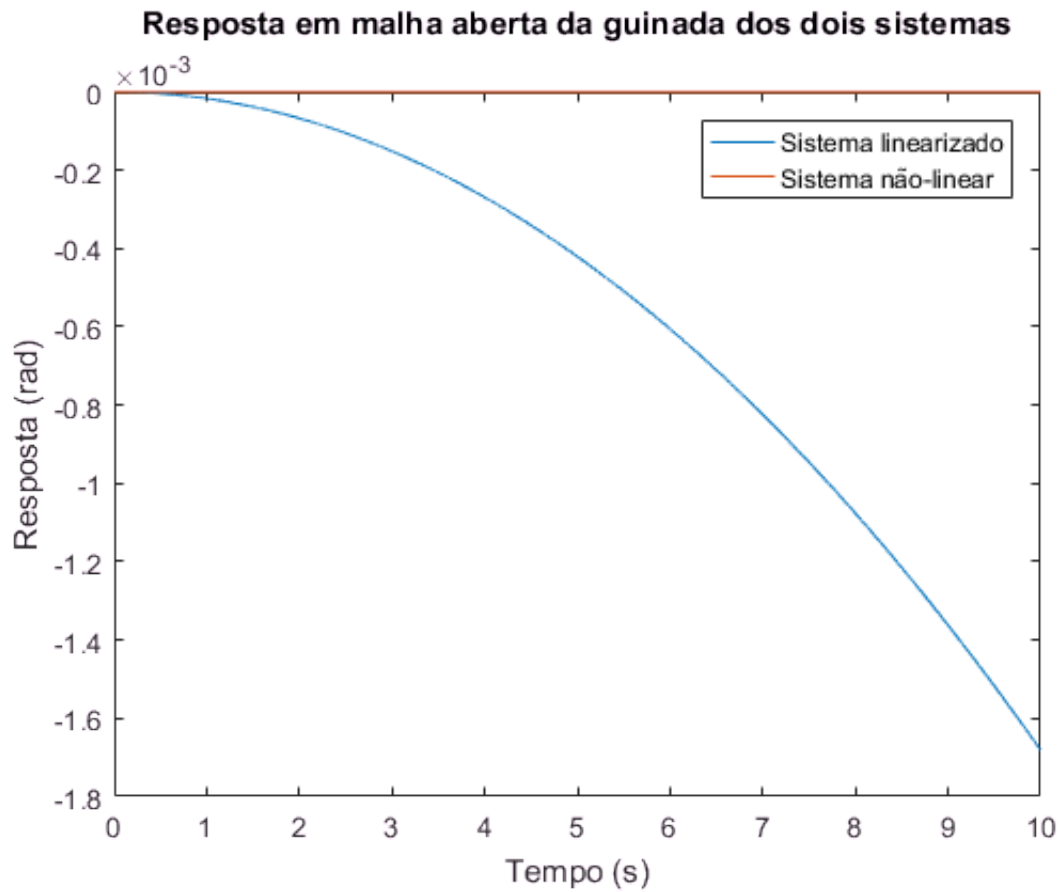
```
fx = 0;  
fy = 2.5e5;  
mz = 0;
```

```
[xg_linear, yg_linear, psi_linear] = sim_linear(t);  
[xg_non_linear, yg_non_linear, psi_non_linear] = sim_non_linear(t);
```

```
i=plota_graficos(psi_linear, yg_non_linear, xg_non_linear, xg_linear, yg_linear, psi_non_linear);
```

Resposta em malha aberta do deslocamento dos dois sistemas





Fz:

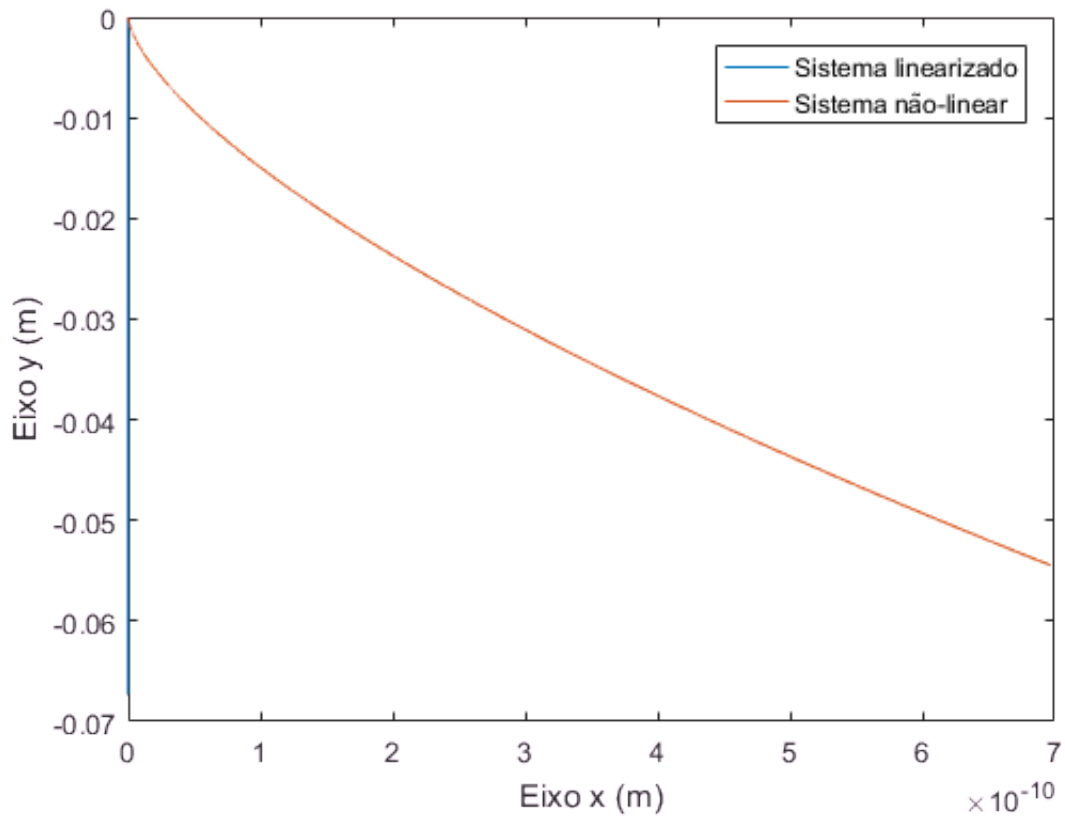
$$(3) F_x = 0 ; F_y = 0 ; M_z = 1 * 10^7 \text{ N.m}$$

```
fx = 0;
fy = 0;
mz = 1e7;

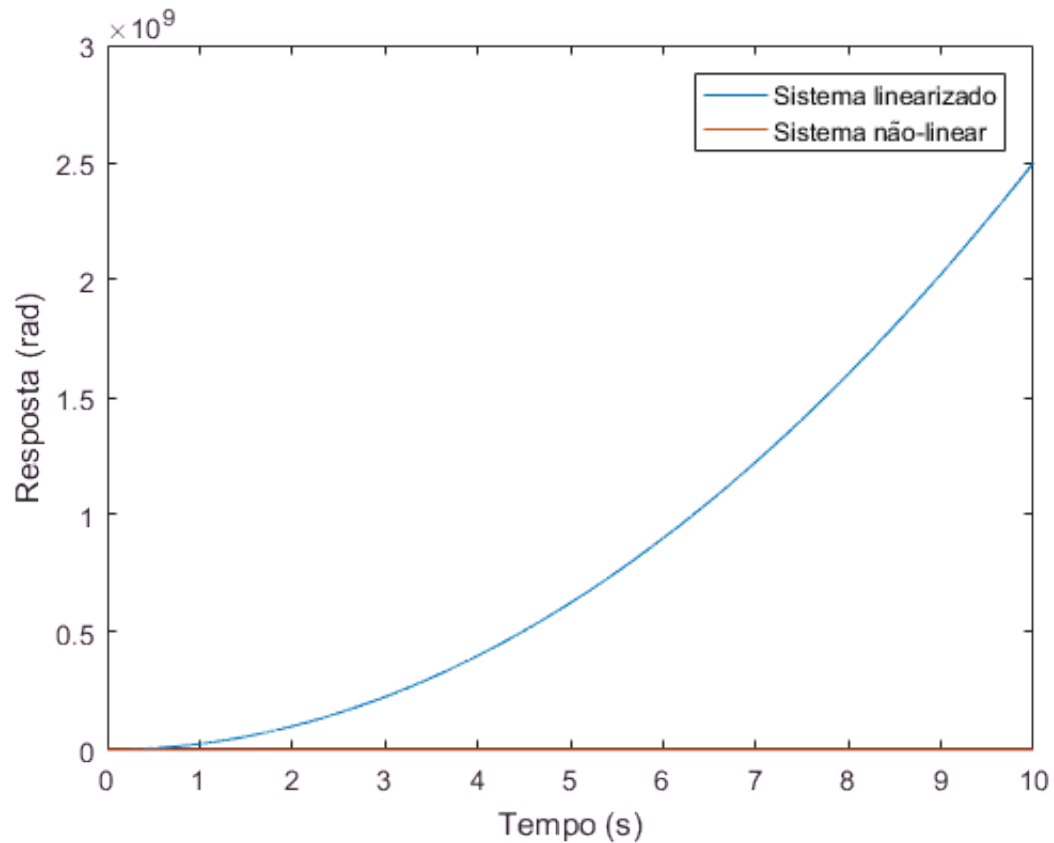
[xg_linear, yg_linear, psi_linear] = sim_linear(t);
[xg_non_linear, yg_non_linear, psi_non_linear] = sim_non_linear(t);

i=plota_graficos(psi_linear, yg_non_linear, xg_non_linear, xg_linear, yg_linear, psi_non_linear);
```

Resposta em malha aberta do deslocamento dos dois sistemas



Resposta em malha aberta da guinada dos dois sistemas



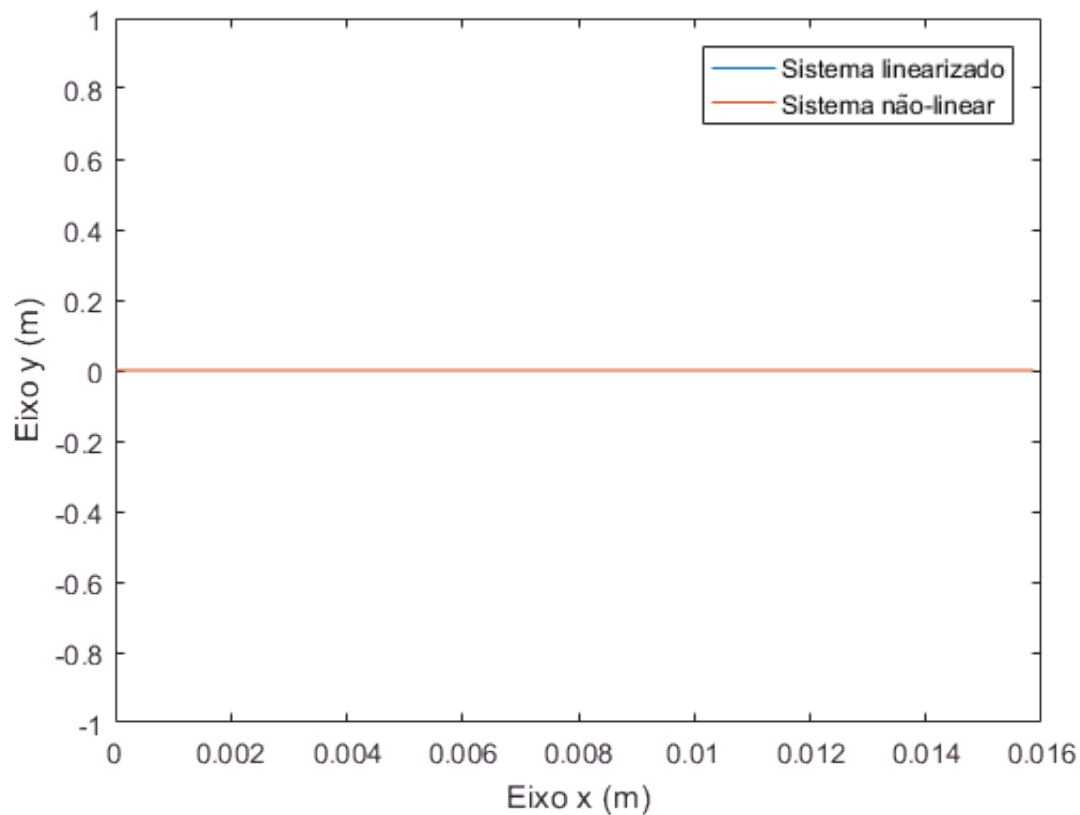
Podemos ver que para 100%, a aproximação linear não tem bom desempenho. Tentaremos reduzir o esforço

Gerando gráficos comparativos para cada entrada atuando sozinha com 25% do esforço de controle:

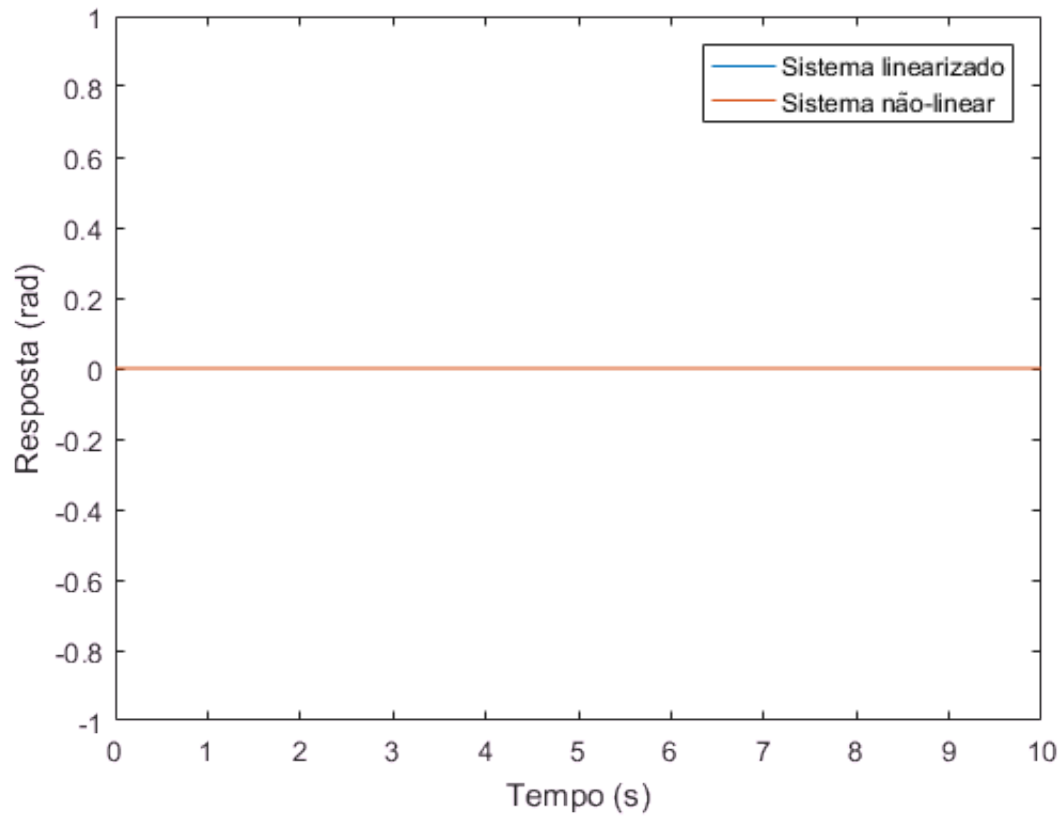
Fx:

```
fx = 0.01*2.5e5;  
fy = 0;  
mz = 0;  
  
[xg_linear, yg_linear, psi_linear] = sim_linear(t);  
[xg_non_linear, yg_non_linear, psi_non_linear] = sim_non_linear(t);  
  
i=plota_graficos(psi_linear, yg_non_linear, xg_non_linear, xg_linear, yg_linear, psi_non_linear)
```

Resposta em malha aberta do deslocamento dos dois sistemas



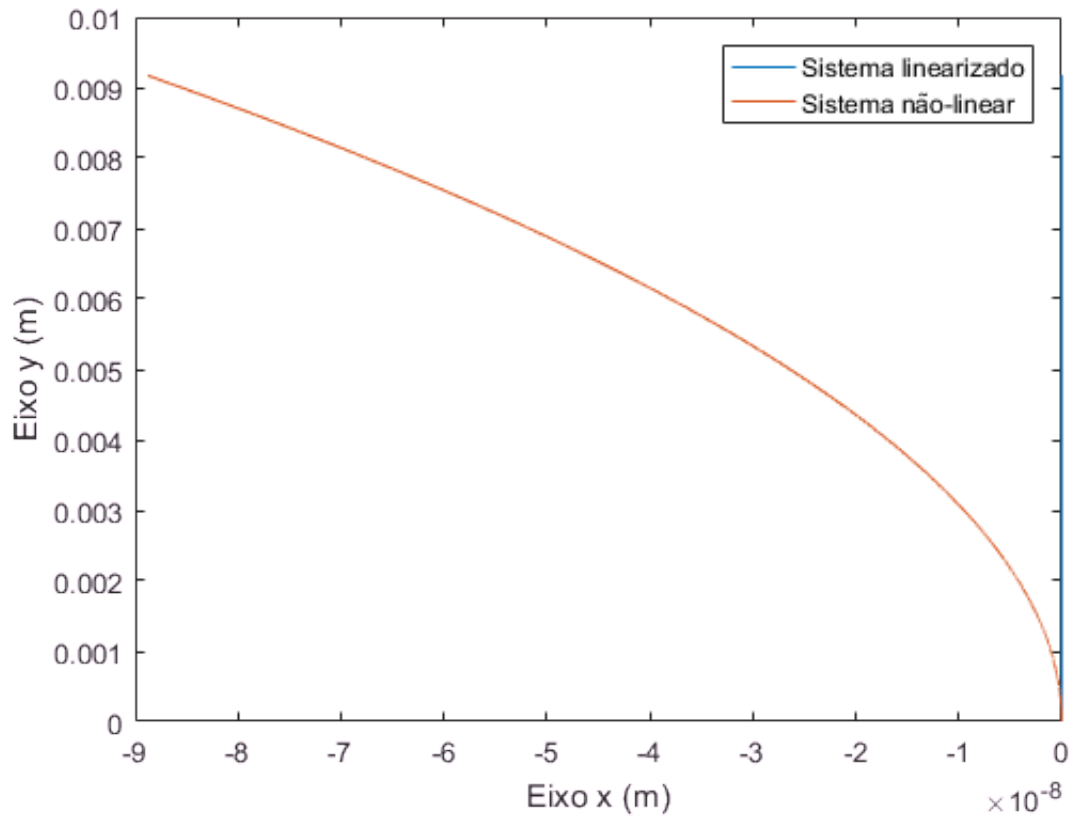
Resposta em malha aberta da guinada dos dois sistemas



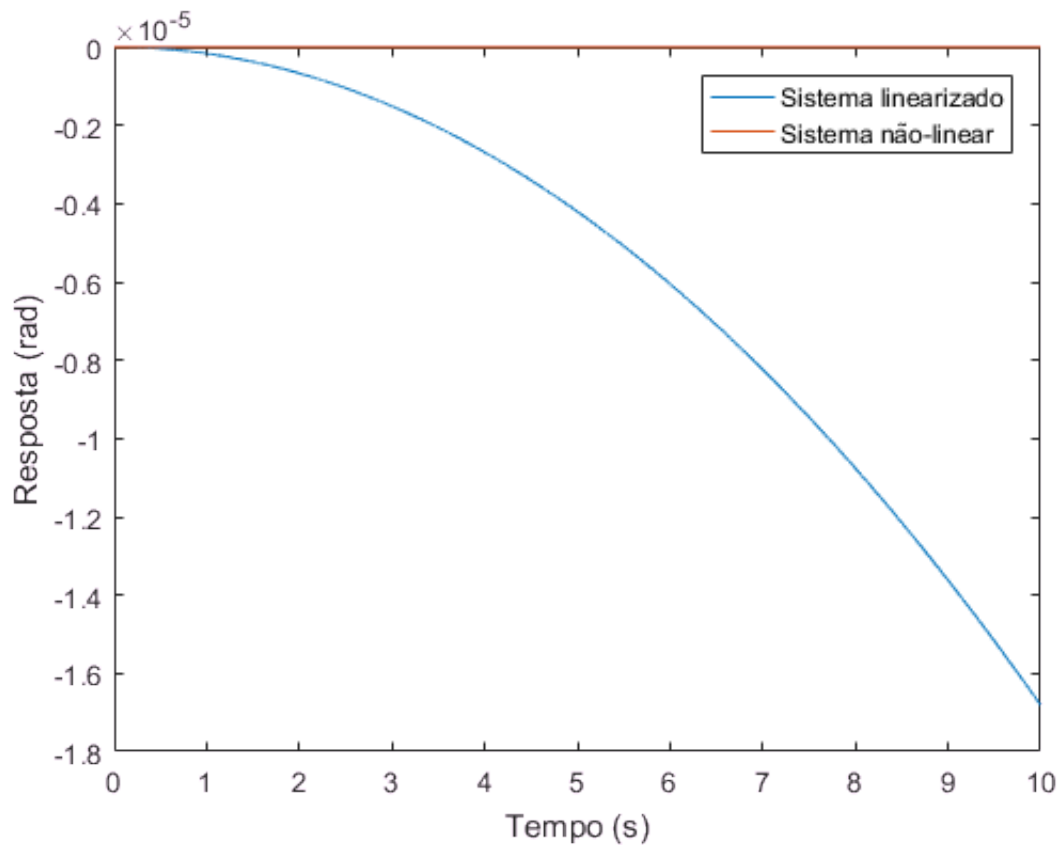
Fy:

```
fx = 0;  
fy = 0.01*2.5e5;  
mz = 0;  
  
[xg_linear, yg_linear, psi_linear] = sim_linear(t);  
[xg_non_linear, yg_non_linear, psi_non_linear] = sim_non_linear(t);  
  
i=plota_graficos(psi_linear, yg_non_linear, xg_non_linear, xg_linear, yg_linear, psi_non_linear);
```

Resposta em malha aberta do deslocamento dos dois sistemas

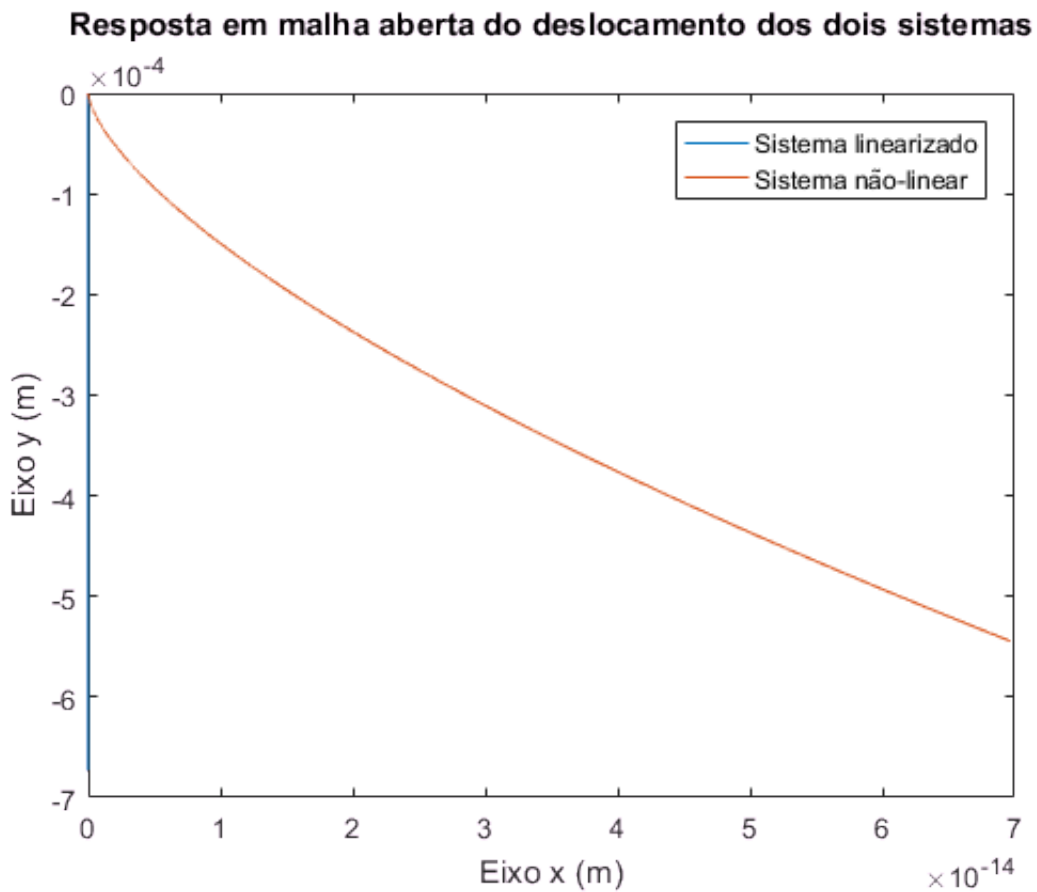


Resposta em malha aberta da guinada dos dois sistemas



Fz:

```
fx = 0;  
fy = 0;  
mz = 0.01*1e7;  
  
[xg_linear, yg_linear, psi_linear] = sim_linear(t);  
[xg_non_linear, yg_non_linear, psi_non_linear] = sim_non_linear(t);  
  
i=plota_graficos(psi_linear, yg_non_linear, xg_non_linear, xg_linear, yg_linear, psi_non_linear);
```



Resposta em malha aberta da guinada dos dois sistemas

